

Algorithmische Geometrie

Geometrische Graphen – euklidisch und hyperbolisch



Wiederholung: Poincaré Disk



Punkte

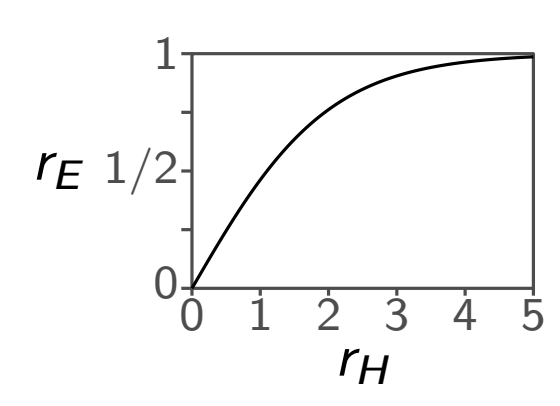
- betrachte einen (euklidischen) Kreis k mit Radius 1 um den Punkt O
- sei P die Menge der Punkte im Inneren des Kreises

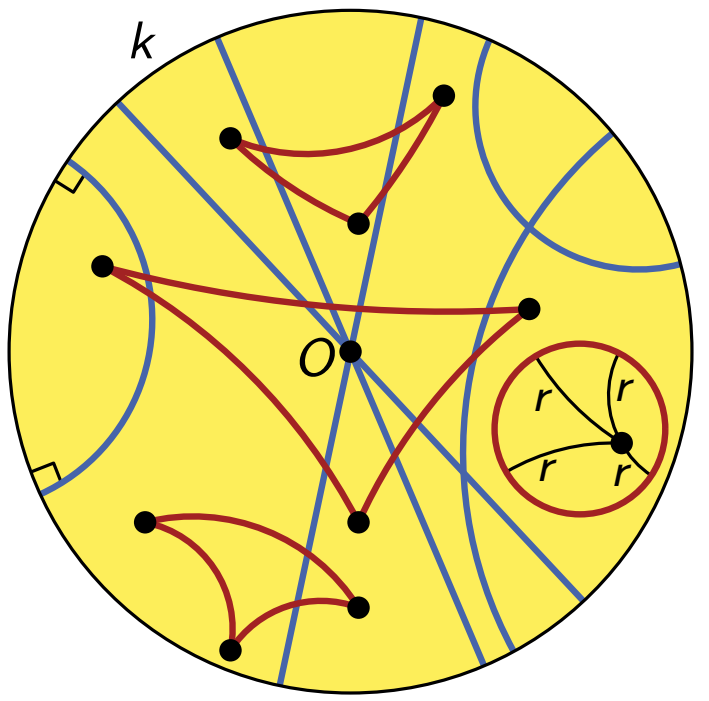
Geraden

- sei G die Vereinigung von:
 - Menge der offenen Strecken durch O mit Endpunkten auf k
 - Menge der offenen Kreisbögen in k, die senkrecht auf k stehen

Beobachtung

- nah an O: sehr ähnlich zum Euklidischen
- um die Besonderheiten der hyperbolischen Ebene zu nutzen müssen wir weit von O weg
- Problem: wir sind dann sehr schnell sehr nah am Rand von k
- unterschiedliche Radien optisch dann nicht mehr unterscheidbar



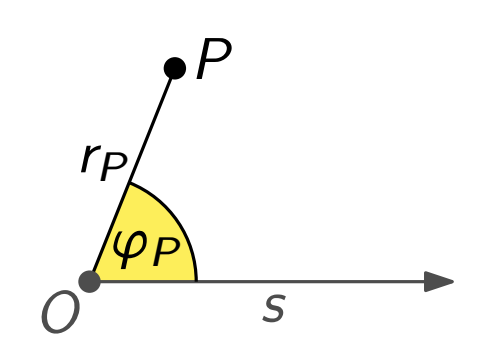


(Native) Polarkoordinaten



Polarkoordinaten

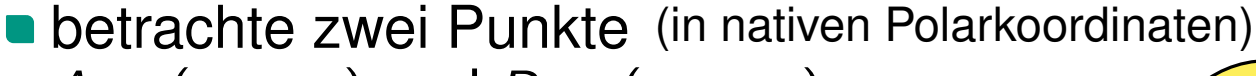
- Referenz: Ursprung O, Strahl s mit Anfangspunkt O
- **Radius** r_P von P: d(O, P)
- Winkel φ_P von P: Winkel zwischen s und OP+
- (r_P, φ_P) sind die **Polarkoordinaten** von *P*



Native Polarkoordinaten

- d ist die hyperbolische Distanz
- insbesondere ist d nicht die euklidische Distanz in der Poincaré Disk

Distanz zwischen Punkten in Polarkoordinaten



$$A=(r_A,\varphi_A)$$
 und $B=(r_B,\varphi_B)$

• sei $\Delta \varphi$ ihre Winkeldistanz:

$$\Delta arphi = \min\{|arphi_A - arphi_B|, 2\pi - |arphi_A - arphi_B|\}$$

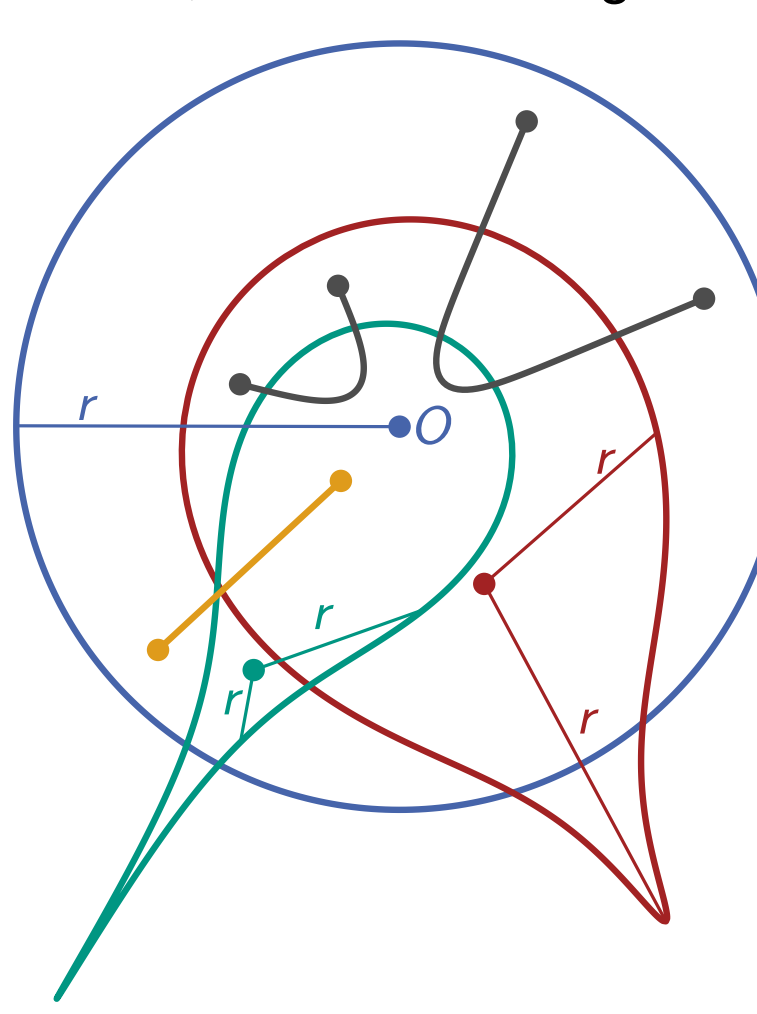
■ dann: $d(A, B) = \operatorname{arcosh} \left[\cosh(r_A) \cosh(r_B) - \sinh(r_A) \sinh(r_B) \cos(\Delta \varphi) \right]$ $\approx \log \left[2 \cdot \left(e^{r_A} / 2 \cdot e^{r_B} / 2 - e^{r_A} / 2 \cdot e^{r_B} / 2 \cdot \cos(\Delta \varphi) \right) \right]$ $= \log \left[e^{r_A + r_B} \cdot \left(1 - \cos(\Delta \varphi) \right) / 2 \right] = r_A + r_B - \log \left[\frac{2}{1 - \cos(\Delta \varphi)} \right]$

Das native Modell



Natives Modell

- nutze nativen Polarkoordinaten für jeden Punkt der hyperbolischen Ebene
- tu so, als wären das ganz normale euklidische Polarkoordinaten



- Kreise um den Ursprung sind Kreise
- Kreise mit anderen Mittelpunkten sehen Tränenförmig aus
- Strecken auf Ursprungsger. sind Strecken
- ihre zu sehende Länge ist die korrekte hyperbolische Länge
- andere Strecken sind Richtung Ursprung gekrümmt
- Darstellung ist nicht Winkelerhaltend

$$d(A, B) \approx r_A + r_B - \log \left[\frac{2}{1 - \cos(\Delta \varphi)}\right]$$

Poincaré vs. nativ

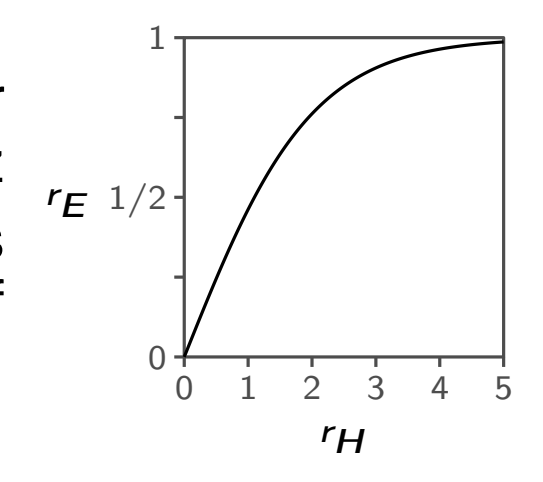


Vorteile der Poincaré Disk

- Darstellung ist Winkelerhaltend
- Geraden sind euklidische Kreisbögen, Kreise sind euklidische Kreise → das sind uns vertraute Objekten
- wir können unsere euklidische Intuition bemühen, um Einsichten über die hyperbolische Ebene zu zeigen

Nachteile der Poincaré Disk

- die (euklidische) Distanz vom Ursprung geht sehr schnell gegen 1 für wachsende hyperbolische Distanz
- möchte man etwas hyperbolisches anschauen, das nicht sehr nah am Ursprung liegt, so liegt alles auf dem Rand der Disk und man sieht nichts mehr
- anfälliger für numerische Probleme



Heuristik zur Wahl des Modells

- visuelle Darstellung von hyperbolischen Daten → natives Modell
- lacktriangle Berechnungen auf Koordinaten o natives Modell (oder auch: Hyperboloid)
- Verständnisfragen/Beweise → Poincaré Disk

Unit-Disk Graphen



Definition

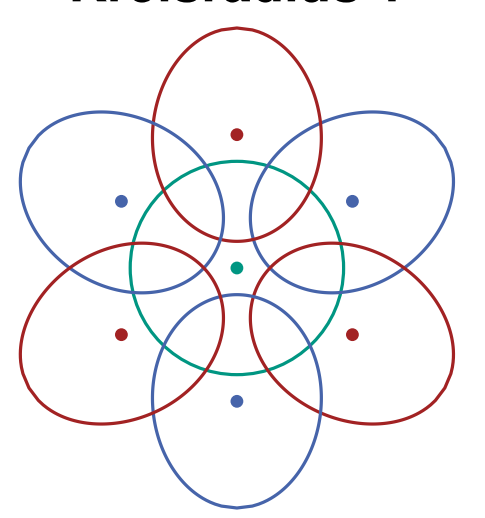
Ein Graph ist ein **Unit-Disk Graph**, wenn er der geometrische Schnittgraph einer Menge von Disks mit Radius 1 ist.



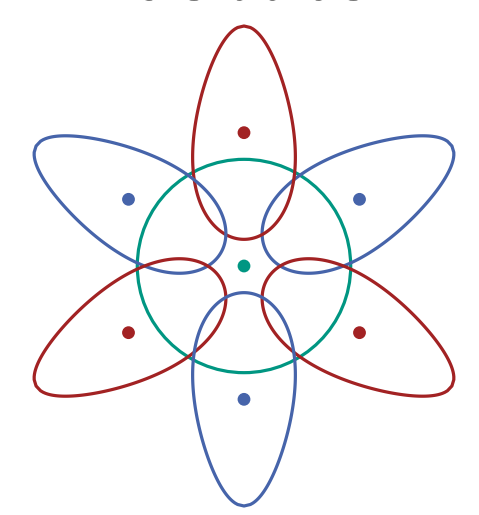
Jetzt hpyerbolisch

- kann man im Prinzip erstmal analog definieren
- Achtung: der Radius macht auf einmal einen Unterschied

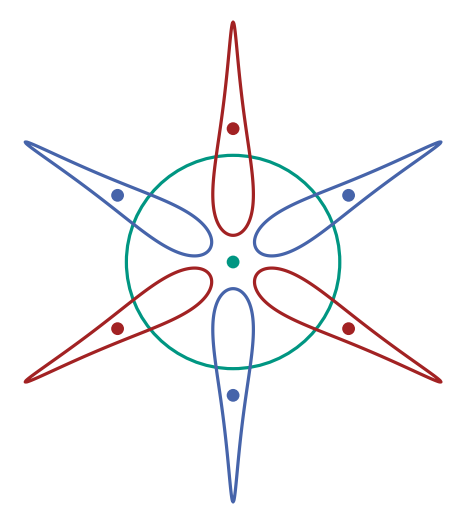
Kreisradius 1



Kreisradius 2



Kreisradius 4



Hyperbolische Unit-Disk Graphen



Definition

Beachte: die Disks der Schnittrepräsentation haben also Radius R/2

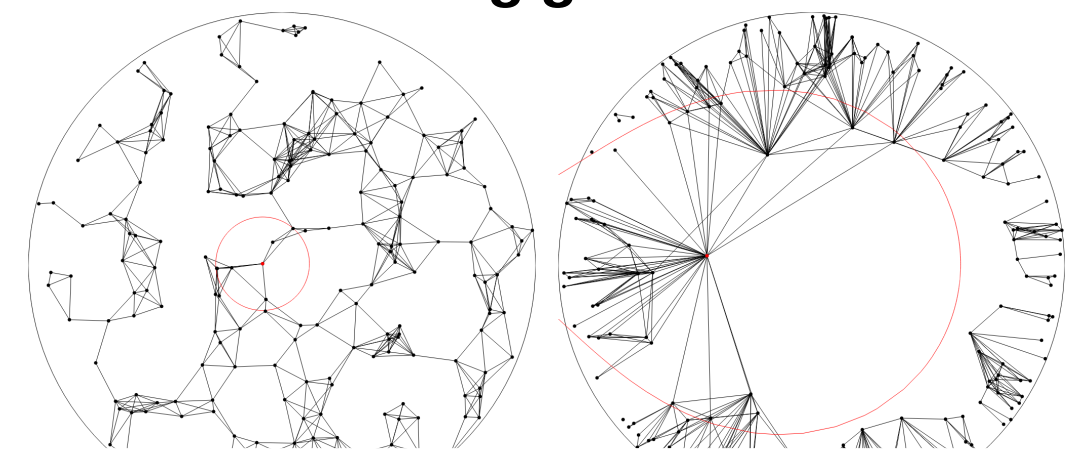
G = (V, E) ist ein **hyperbolischer Unit-Disk Graph** wenn er eine hyperbolische Unit-Disk Repräsentation hat: ein Abbildung $p: V \to \mathbb{H}^2$ zusammen mit einem Radius R, sodass $\{u, v\} \in E \Leftrightarrow d(p(u), p(v)) \leq R$.

Warum der Name *Unit-*Disk Graph?

- der Begriff Unit ist hier als "einheitlich" statt als "Länge = 1" zu verstehen
- man erhält das gleiche, wenn man R=2 fordert, aber die Krümmung der hyperbolischen Ebene nicht auf -1 festhält

Bekomme ich unterschiedliche Strukturen abhängig von R?

- kleines R
 - wie im Euklidischen
 - regelmäßig / homogen
 - gitterartig
- großes R
 - unregelmäßig / inhomogen
 - hierarchisch



https://thobl.github.io/hyperbolic-unit-disk-graph/

Wie hyperbolisch darfs sein?

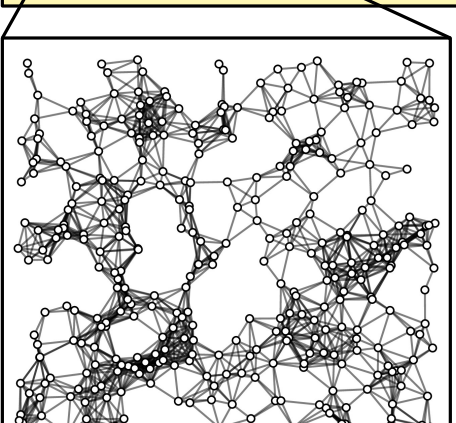


kleiner Radius *R* → großer Radius *R*

hyperbolische Unit-Disk Graphen

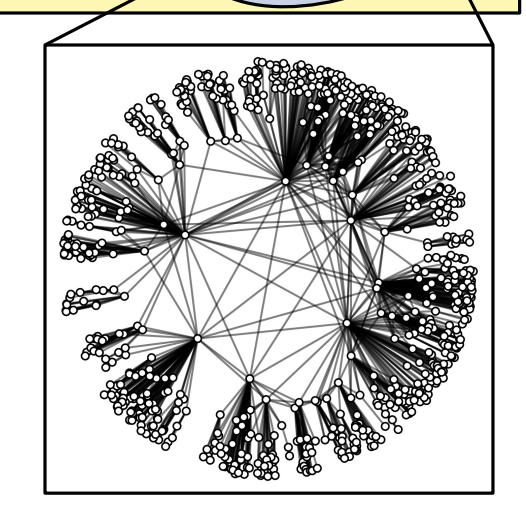
stark hyperbolische UD-Graphen

(euklidische) UD-Graphen



Situation

- euklidische UD-Graphen sind eine Teilklasse von hyperbolischen
- viele hyperbolische UD-Graphen sind nicht sehr hyperbolisch



Stark hyperbolische Unit-Disk Graphen

- Ziel: Gegenstück zu euklidischen UD-Graphen
- mit hierarchischer / heterogener Struktur
- Wie formalisieren wir das? Wie groß ist groß genug für R?

Stark hyperbolisch



Definition

G = (V, E) ist ein **hyperbolischer Unit-Disk Graph** wenn er eine hyperbolische Unit-Disk Repräsentation hat: ein Abbildung $p: V \to \mathbb{H}^2$ zusammen mit einem Radius R, sodass $\{u, v\} \in E \Leftrightarrow d(p(u), p(v)) \leq R$.

Definition

G ist ein **stark hyperbolischer Unit-Disk Graph**, wenn p alle Knoten in eine Disk mit Radius R abbildet.

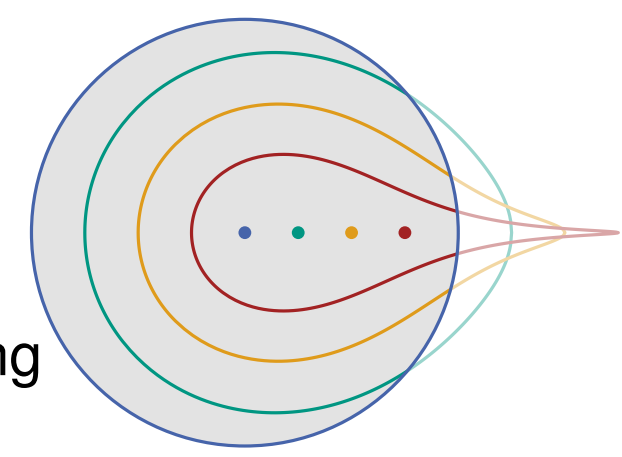
Darstellung

https://thobl.github.io/hyperbolic-unit-disk-graph/

- wähle Zentrum dieser Disk als Ursprung für die nativen Polarkoordinaten
- Achtung: nicht mit der Poincaré Disk verwechseln

Beobachtungen

- Knoten im Ursprung: mit allen anderen benachbart
- je weiter außen ein Knoten, desto kleiner sein Einflussbereich
- maximale Heterogenität: jede Distanz vom Ursprung liefert unterschiedlich großen Einflussbereich



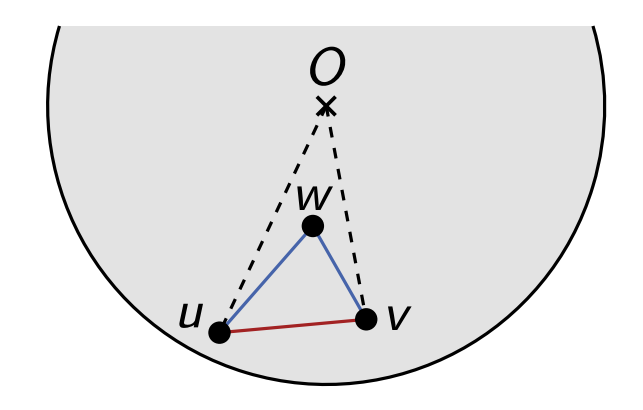
Erzwungene Kanten



Situation

- stark hyperbolische UD-Repräsentation
- w liegt bezüglich Winkel zwischen u und v
- \blacksquare w liegt weiter innen als u und v

Theorem (ohne Beweis) Wenn
$$\{u, v\} \in E$$
, dann auch $\{u, w\}, \{v, w\} \in E$.



Anmerkung

- man kann nicht unbemerkt außen an einem inneren Knoten vorbeilaufen
- hierarchische Strukturen: je weiter innen desto höher in der Hierarchie
- Beweis: für Interessierte im Anhang

Innere Nachbarschaft (stark hyperbolisch)

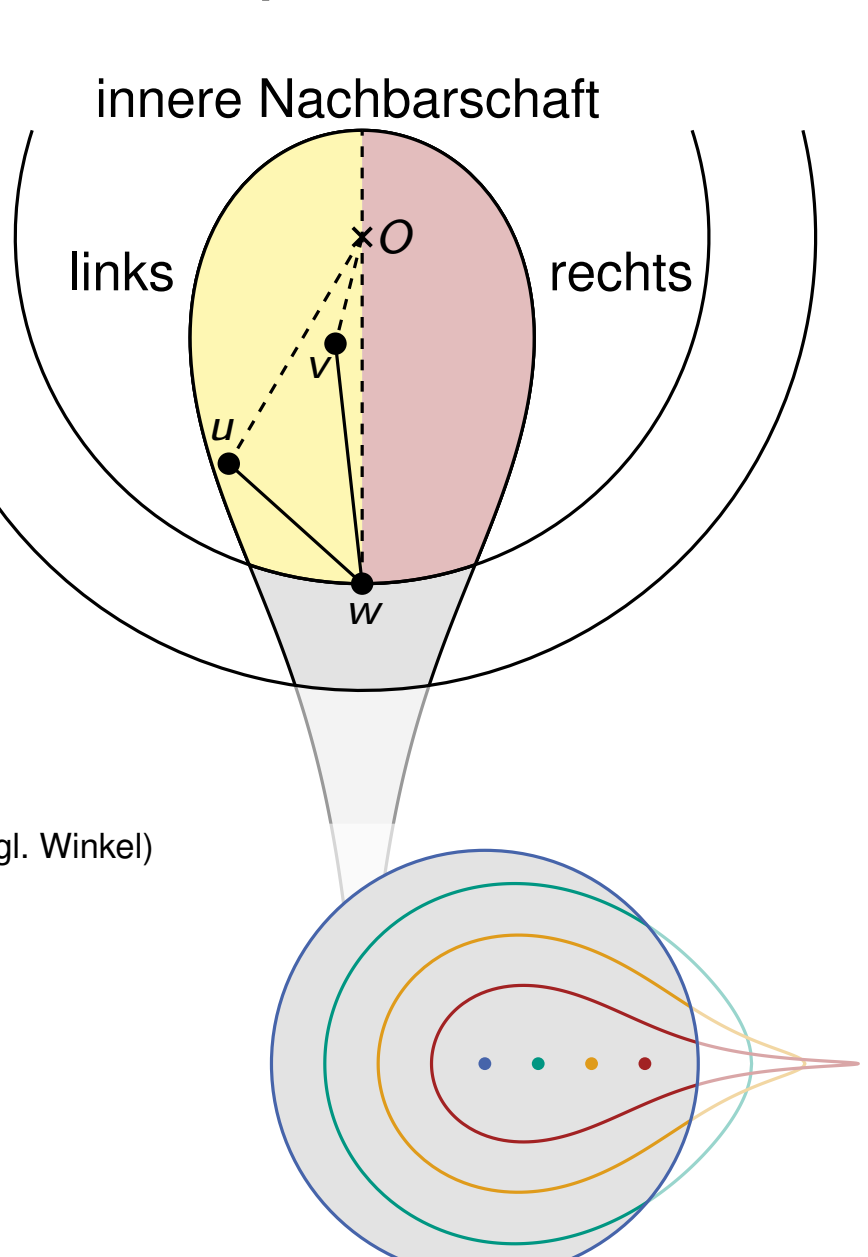


Theorem

Die linke und rechte innere Nachbarschaft eines Knotens bilden jeweils eine Clique.

Beweis

- zeige: u und v sind verbunden
- W Richtung O verschieben verkleinert seine Nachbarschaft nicht
- verschiebe w, sodass $r_w = r_v$ $\Rightarrow w$ bleibt mit u verbunden (beachte: d(u, w) wird ggf. größer, aber nicht größer als R)
- verschiebe w weiter, sodass $\varphi_w = \varphi_v$ $\Rightarrow w$ bleibt mit u verbunden (Distanz monoton bzgl. Winkel)
- also: $\{u, v\} \in E$



Innere Nachbarschaft (stark hyperbolisch)



Theorem

Die linke und rechte innere Nachbarschaft eines Knotens bilden jeweils eine Clique.

Folgerung

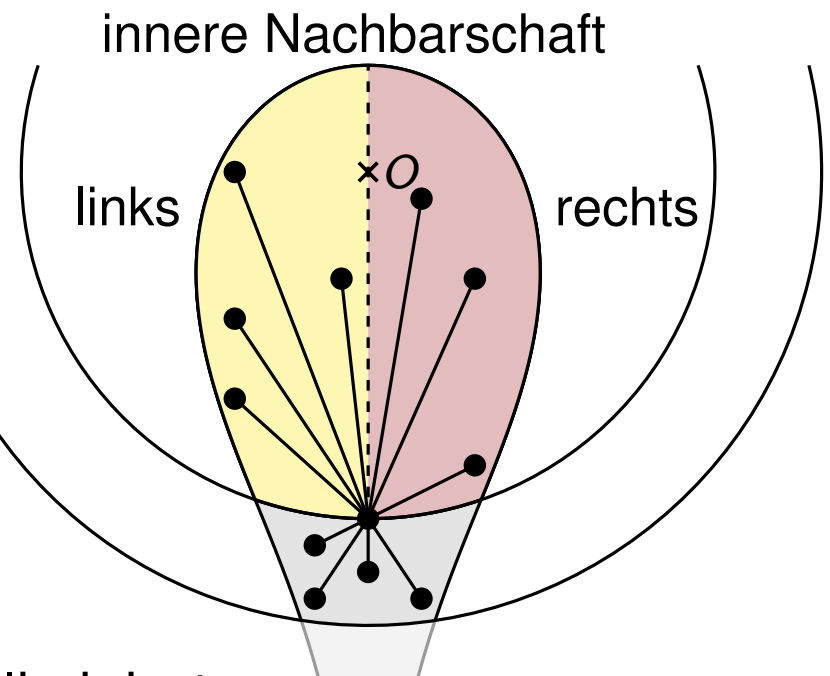
- sortiere Knoten v_1, \ldots, v_n von Außen nach Innen
- lösche Knoten nach und nach:

$$G_i = G[\{v_i,\ldots,v_n\}]$$

- v_i hat in G_i nur innere Nachbarn
- Eliminationsschema mit: Nachbarschaft eliminierter Knoten durch zwei Cliquen überdeckbar

Vergleich: Chordale Graphen

- Graph chordal ⇔ perfektes Eliminationsschema
- perfektes Eliminationsschema: Nachbarschaft eliminierter Knoten bilden Clique



Was wissen wir sonst noch so?



Erkennung von hyperbolischen UD-Graphen

- NP-schwer
- liegt in ∃R
- offen: ∃ℝ-Schwere
- offen: Komplexität für stark hyperbolische Graphen

Größte Clique finden

für stark hyperbolische UD-Graphen in polynomieller Zeit

Baumweite für stark hyperbolische UD-Graphen

- balancierte Separatoren der Größe $O(\Delta)$ (max deg)
- Baumzerlegung entsprechender Weite
- ganz anders als bei Gittern

Routing auf stark hyperbolischen UD-Graphen

- lokales Routing (ähnlich zu greedy Routing) mit kleinem Stretch
- schlägt untere Schranke für allgemeine Graphen

Masterarbeit Emil Dohse

Was soll das überhaupt?



Warum machen wir eigentlich Theorie?

- weil es Spaß macht
- um Beobachtungen zu erklären
- um Vorhersagen treffen zu können

Algorithmische Beispiele

sortieren	Bubblesort	Mergesort	Speedup
	$\Theta(n^2)$	$\Theta(n \log n)$	$\Theta\left(\frac{n}{\log n}\right)$
orthogonale Bereichsanfragen	k-d Tree	Range-Tree	Speedup
	$\Theta(\sqrt{n})$	$\Theta(\log^2 n)$	$\Theta\left(\frac{\sqrt{n}}{\log^2 n}\right)$

Vorhersage

- polynomieller asymptotischer Speedup
- beliebig großer Speedup, wenn man die Instanz groß genug wählt

Schlussfolgerungen

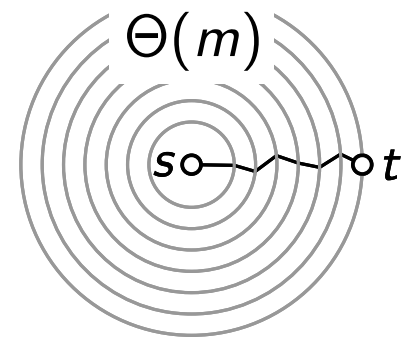
den langsameren Algorithmus braucht man nicht in Erwägung zu ziehen

Beispiel: Bidirektionale Breitensuche

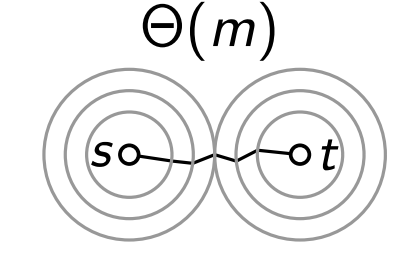


Kürzeste Wege in ungewichteten Graphen

Breitensuche (BFS)



bidirectionale BFS



Speedup $\Theta(1)$

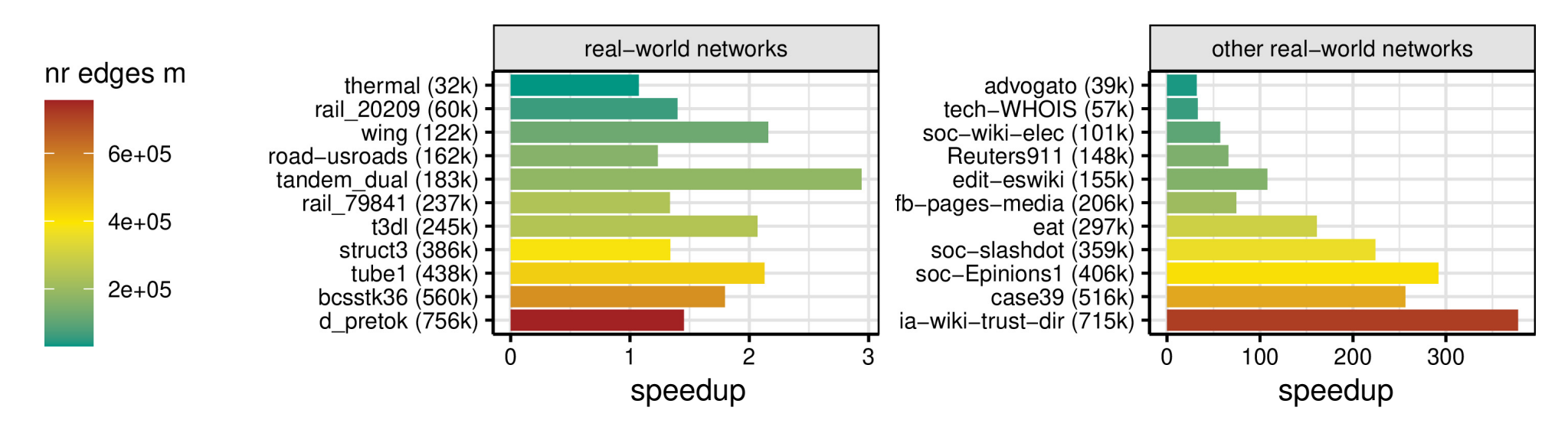
Vorhersage: Speedup unabhängig von der Graphgröße

Schlussfolgerung

- Option 1: beides implementieren und experimentell vergleichen
 - wenn man fleißig ist bzw. die nötige Zeit hat
 - wenn man sich für konstante Faktoren interessiert
- Option 2: einfach BFS nutzen, da bidirektional den Aufwand nicht wert ist
 - wenn man wenig Zeit hat
 - wenn konstante Faktoren gerade nicht sehr relevant sind

Bidirektionale BFS: Experimenteller Vergleich





Beobachtung: sehr falsche Vorhersage für manche Instanzen

Was ist daran jetzt schlimm?

- Algorithmus schneller als erwartet → super
- außer: ggf. nicht implementiert, da ich dachte, es lohnt nicht
- außerdem: schon ein bisschen peinlich für die Theorie
 - Analyse von $\Theta(m)$ für bidirektionale BFS hat wenig Spaß gemacht
 - Theorie erklärt nicht das beobachtete Verhalten
 - Theorie sagt etwas falsches voraus

Make Theory Great Again



Wo liegt das Problem?

- theoretische Analysen betrachten häufig den Worst-Case
- typische Instanzen sind oft gutartig

Ziele

- formalisiere was "typische Instanze" und "gutartig" bedeutet
- analysiere Algorithmen bezüglich dieser Formalisierung
- keine Überraschungen: Erklärung für bzw. korrekte Vorhersage von beobachtetem Verhalten
- Laufzeit in Abhängigkeit struktureller Eigenschaften

Disclaimer

- verschiedene Methodiken sind für diese Ziele verschieden gut geeignet
- Methodik hierfür ungeeignet ⇒ Methodik grundsätzlich nutzlos
- Beispiel: Worst-Case Analyse ist weiterhin ein wichtiges und in den meisten Fällen das richtige Tool

Was ist ein akzeptierbarer Fix?

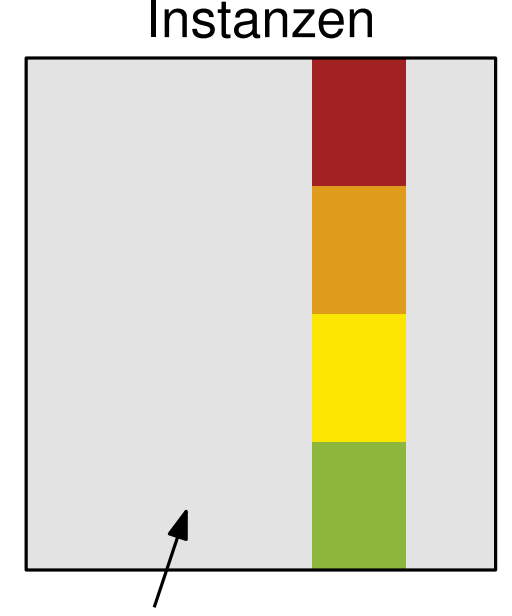


Der Heilige Gral

- zeige: Instanzen mit einer gewissen Eigenschaft sind leicht
- verifiziere: praktische Instanzen haben die Eigenschaft
- die Eigenschaft sollte "natürlich" sein

Warum ist der heilige Gral schwer zu finden?

- Worst-Case unter den Instanzen mit der Eigenschaft
 - ⇒ Eigenschaft muss ausreichend restriktiv sein
- sollte viele praktische Instanzen einschließen
 - ⇒ Eigenschaft darf nicht zu restriktiv sein



einfache praktische Instanzen

Schwächerer aber akzeptabler Fix

- Einschränkung der Analyse auf prototypische Instanzen
- lacktriangle Hoffnung: echte Instanzen verhalten sich ähnlich \Rightarrow keine Überraschung

Was heißt das jetzt konkret?



Methodik

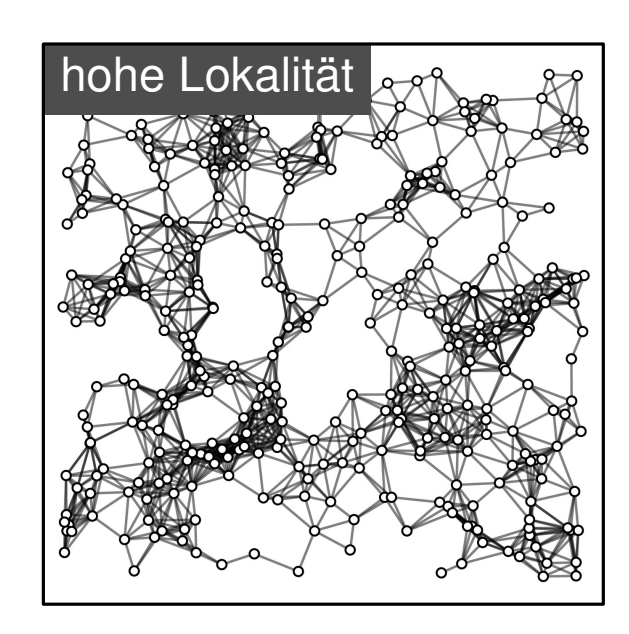
- betrachte zufällig generierte Instanzen
- analysiere erwartete Laufzeit
- vergleiche Ergebnisse für verschiedene Wahrscheinlichkeitsverteilungen, die sich in nur einer Eigenschaft unterscheiden

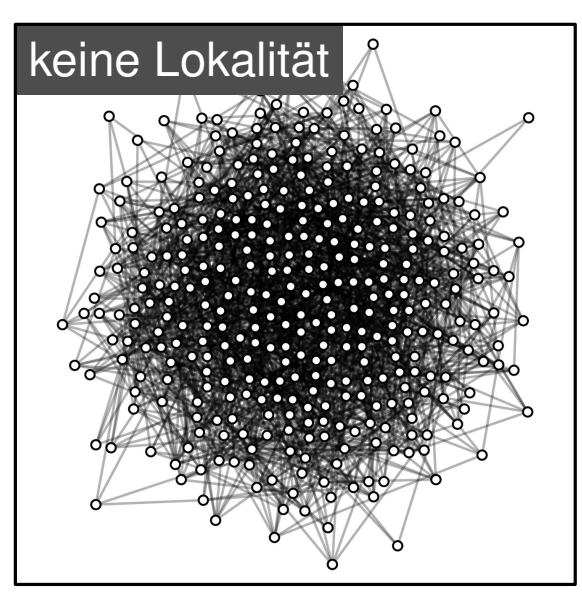
Plan im Folgenden

- zwei wichtige Eigenschaften: Lokalität und Heterogenität
- Was bekommen wir damit für die bidirektionale Breitensuche?
- Generalisiert das von den prototypischen generierten Instanzen zu praktischen Instanzen?

Was ist Lokalität?







Charakteristische Eigenschaften

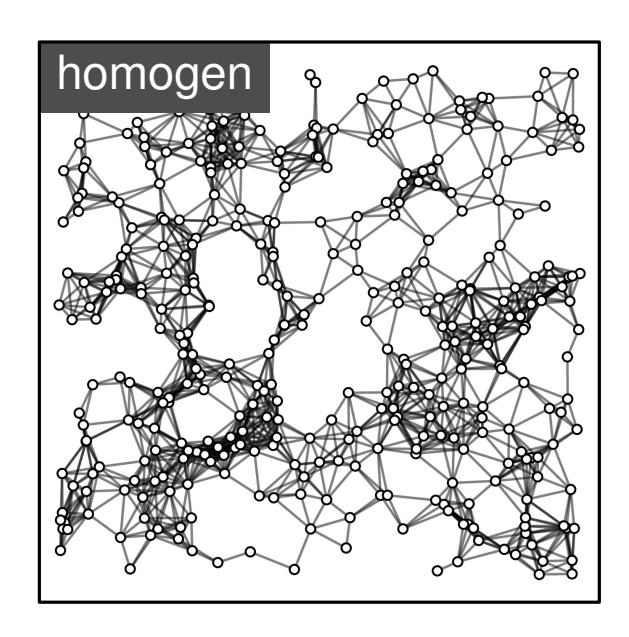
- kurze Kanten
- viele Dreiecke

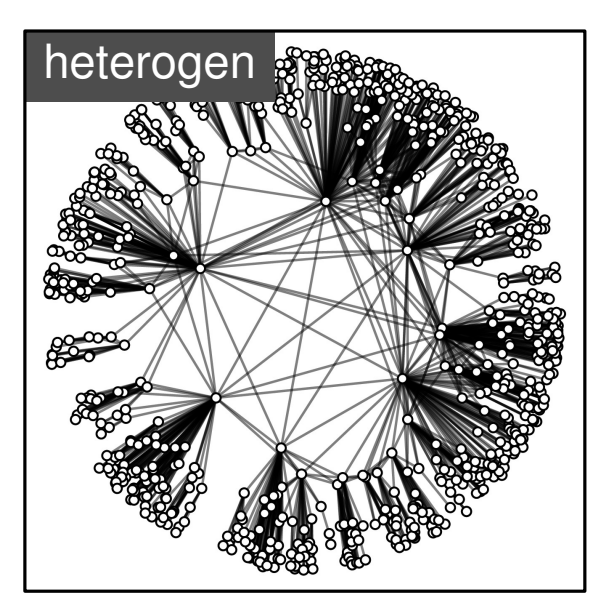
Alternative Namen für das selbe Konzept

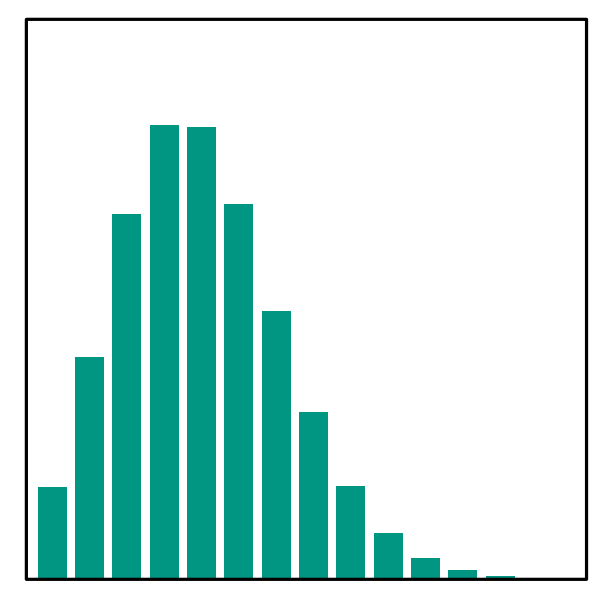
- Homophilie
- starkes Clustering
- Modularität
- Redundanz
- zugrundeliegende Geometrie
- tiefe Temperatur

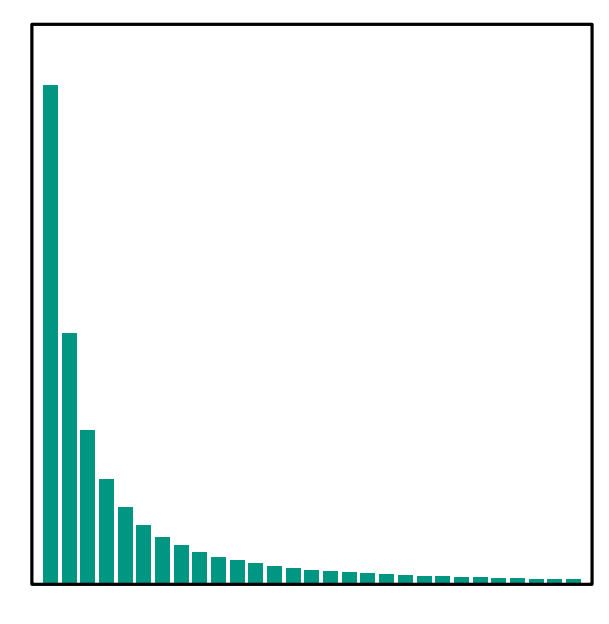
Was ist Heterogenität?









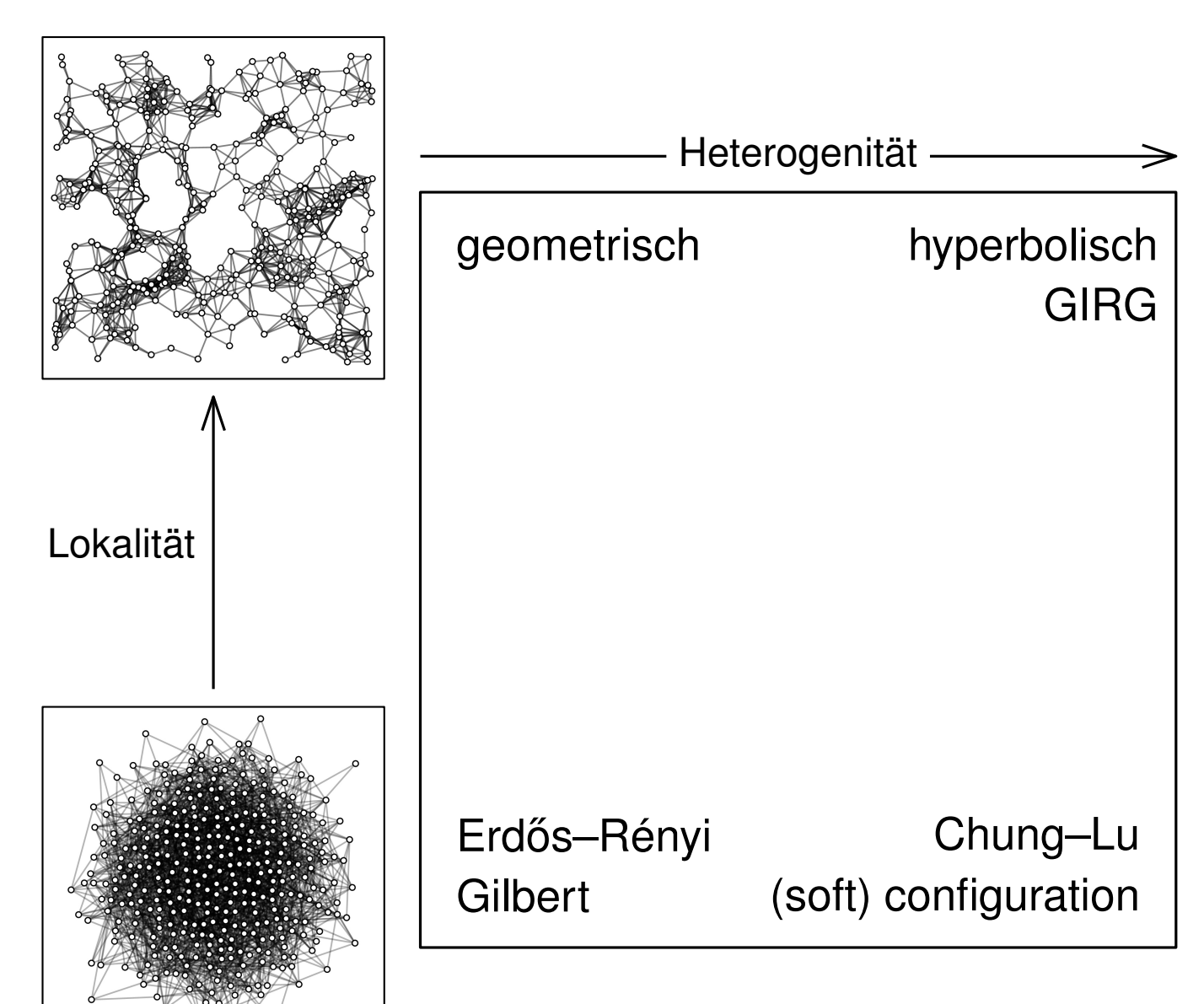


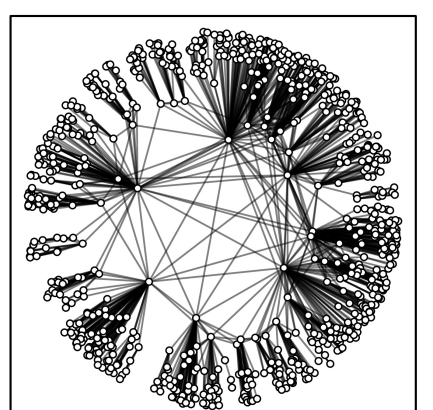
Gradverteilung

- kleine/große Varianz
- kleines/großes Maximum
- beide: kleiner Durchschnitt

Formalisierung mittels Zufallsgraphen

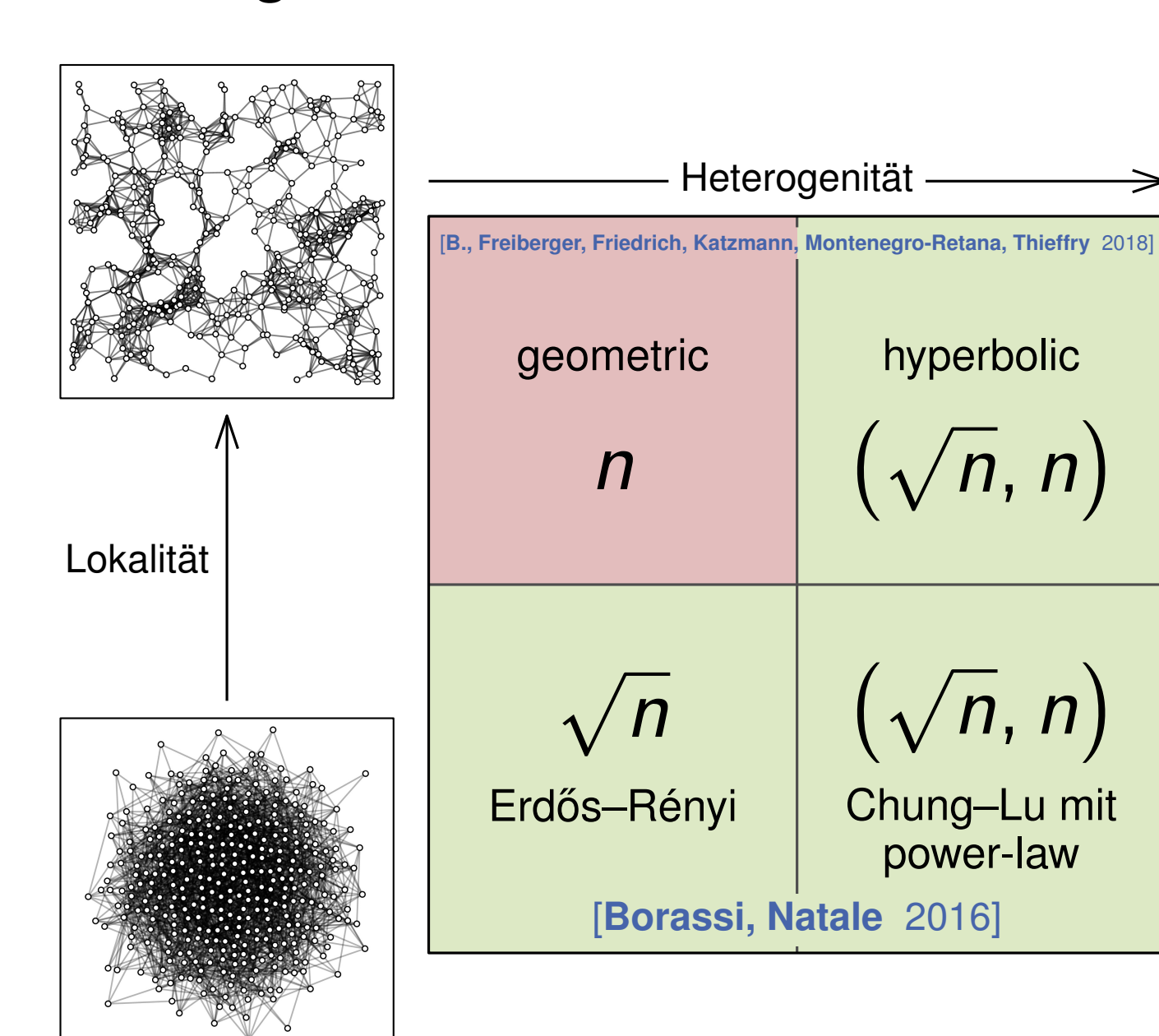


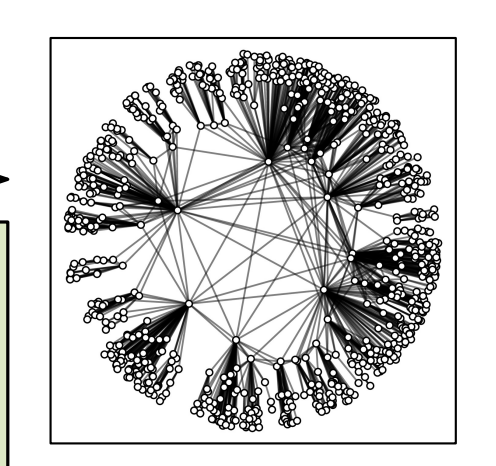




Vorhersagen für die bidirektionale BFS





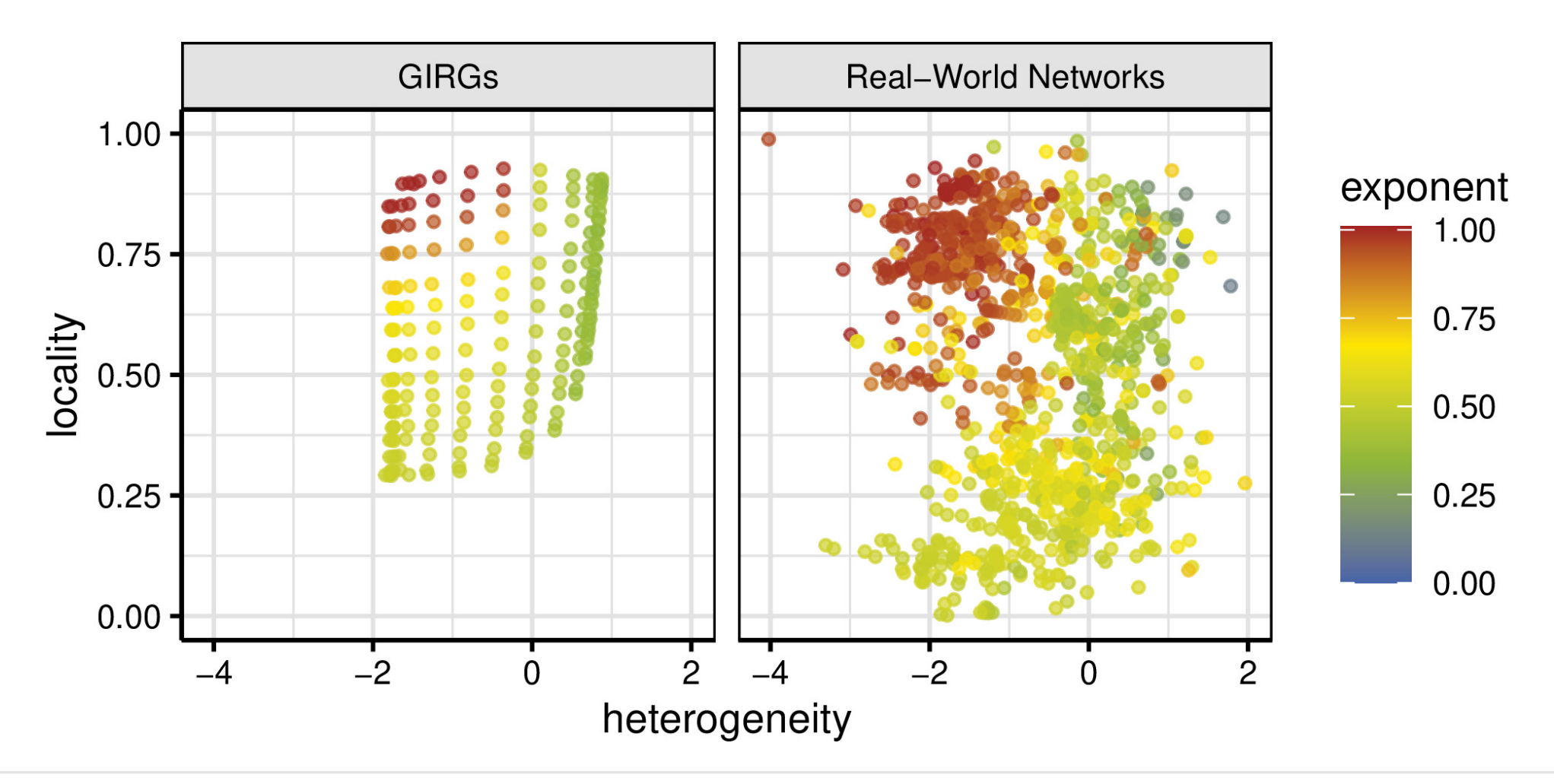


Generalisiert das für praktische Instanzen?



Vorhersage

- konstanter Speedup, wenn homogen und lokal
- sonst: asymptotischer polynomieller Speedup



Zusammenfassung



Hyperbolische Unit-Disk Graphen

- Generalisierung von euklidischen Unit-Disk Graphen
- interessanter Spezialfall: stark hyperbolische UD-Graphen
- viele offene Fragen

Algorithmen auf Zufallsgraphen

- Lokalität und Heterogenität als wichtige Eigenschaften
- Auswirkung dieser Eigenschaften auf Algorithmen
- Geometrie für Lokalität
- euklidisch → homogen; hyperbolisch → heterogen

Was gibt es sonst noch?

- andere Probleme auf hyperbolischen Zufallsgraphen: Vertex Cover (optimal + Approximation), SAT, Clique
- strukturelle Eigenschaften: Durchmesser, Cliquen, Baumweite, ...
- effiziente Generatoren

Bonusfrage: Was meint Drosten, wenn er von Netzwerkeffekten spricht?

Literaturhinweise



(Stark) hyperbolische Unit-Disk Graphen

Routing in Strongly Hyperbolic Unit Disk Graphs
Thomas Bläsius, Tobias Friedrich, Maximilian Katzmann, Daniel Stephan

(2021) https://arxiv.org/abs/2107.05518

Hyperbolische Zufallsgraphen

Hyperbolic geometry of complex networks Krioukov, Papadopoulos, Kitsak, Vahdat, Boguñá

(2010)

https://doi.org/10.1103/PhysRevE.82.036106

Random Hyperbolic Graphs: Degree Sequence and Clustering Luca Gugelmann, Konstantinos Panagiotou, Ueli Peter

(2012)

https://doi.org/10.1007/978-3-642-31585-5_51

Bidirektionale Suche in hyperbolischen Zufallsgraphen

Efficient Shortest Paths in Scale-Free Networks with Underlying Hyperbolic Geometry Bläsius, Freiberger, Friedrich, Katzmann, Montenegro-Retana, Thieffry

(2018)

https://doi.org/10.4230/LIPIcs.ICALP.2018.20

Ausführlicheres Video zur zweiten Hälfte von heute

Theoretical Algorithm Analysis meets Practical Data Thomas Bläsius, PODC-DARE Workshop

(2021)

https://www.youtube.com/watch?v=Do2FC3k0JMg

Effiziente Generierung

Sampling Geometric Inhomogeneous Random Graphs in Linear Time Karl Bringmann, Ralph Keusch, Johannes Lengler

(2017)

https://doi.org/10.4230/LIPIcs.ESA.2017.20

Efficiently Generating Geometric Inhomogeneous and Hyperbolic Random Graphs

(2019)

Bläsius, Friedrich, Katzmann, Meyer, Penschuck, Weyand

https://doi.org/10.4230/LIPIcs.ESA.2019.21

Bonus: Erzwungene Kanten



Situation

- stark hyperbolische UD-Repräsentation
- w liegt bezüglich Winkel zwischen u und v
- \blacksquare w liegt weiter innen als u und v

Theorem

Wenn $\{u, v\} \in E$, dann auch $\{u, w\}, \{v, w\} \in E$.

Beweis

- Kreis um u mit Radius R enthält v und O Warum?
- Kreis sind konvex \Rightarrow Strecke \overline{vO} liegt im Kreis
- w' liegt in dem Kreis $\Rightarrow d(u, w') \leq R$
- Distanz ist monoton bzgl. Winkeldifferenz $\Rightarrow d(u, w) \leq R$

Anmerkung

- man kann also nicht unbemerkt außen an einem weiter innen liegenden Knoten vorbeilaufen
- hierarchische Strukturen: je weiter innen desto höher in der Hierarchie

